

Entrée et sortie: Système Laser Reflective LRS18a

Données de couleurs périphériques (d)
ou élémentaires (e):

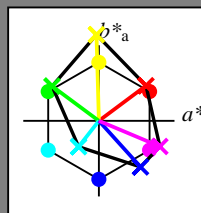
HIC^*

code de teinte pour les cou-
leurs de cette page:

H^*_- = R00Y-, R25Y-, ..., B75R-

ORS20a; données CIELAB (a) adaptées

H^*_-	$L^*=L^*_a a^*_a$	b^*_a	$C^*_{ab,a}$	$h^*_{ab,a}$
R00Y_100_100_	48.4	66.1	40.2	77.3
R25Y_100_100_	56.8	48.0	50.5	69.6
R50Y_100_100_	68.6	25.0	63.9	68.6
R75Y_100_100_	80.6	4.8	77.2	77.3
Y00G_100_100_	90.2	-9.6	88.2	88.7
Y25G_100_100_	83.2	-18.4	79.9	81.9
Y50G_100_100_	73.3	-31.7	62.7	70.2
Y75G_100_100_	62.0	-49.7	43.2	65.8
G00B_100_100_	55.8	-65.2	33.8	73.4
G25B_100_100_	59.3	-50.3	-9.0	51.0
G50B_100_100_	63.0	-30.5	-42.0	51.9
G75B_100_100_	45.7	-5.7	-44.6	44.9
B00R_100_100_	27.5	25.9	-47.3	53.9
B25R_100_100_	38.3	52.6	-28.5	59.8
B50R_100_100_	49.5	73.5	-9.0	74.0
B75R_100_100_	48.9	69.3	12.9	70.4



%Gamme

$u^*_{rel} = 114$

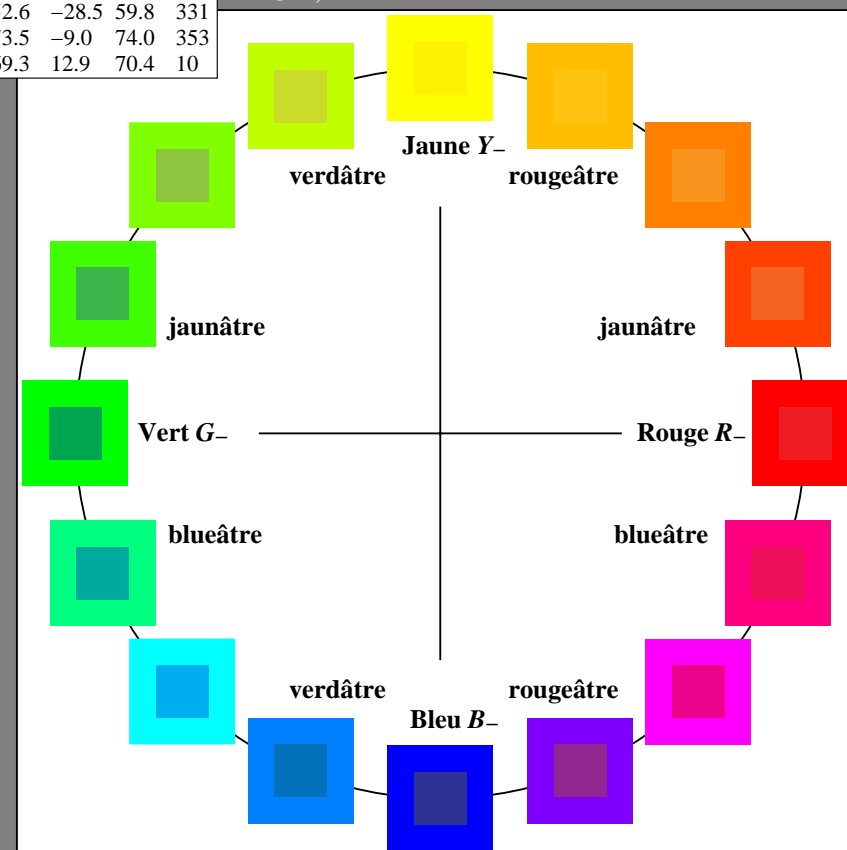
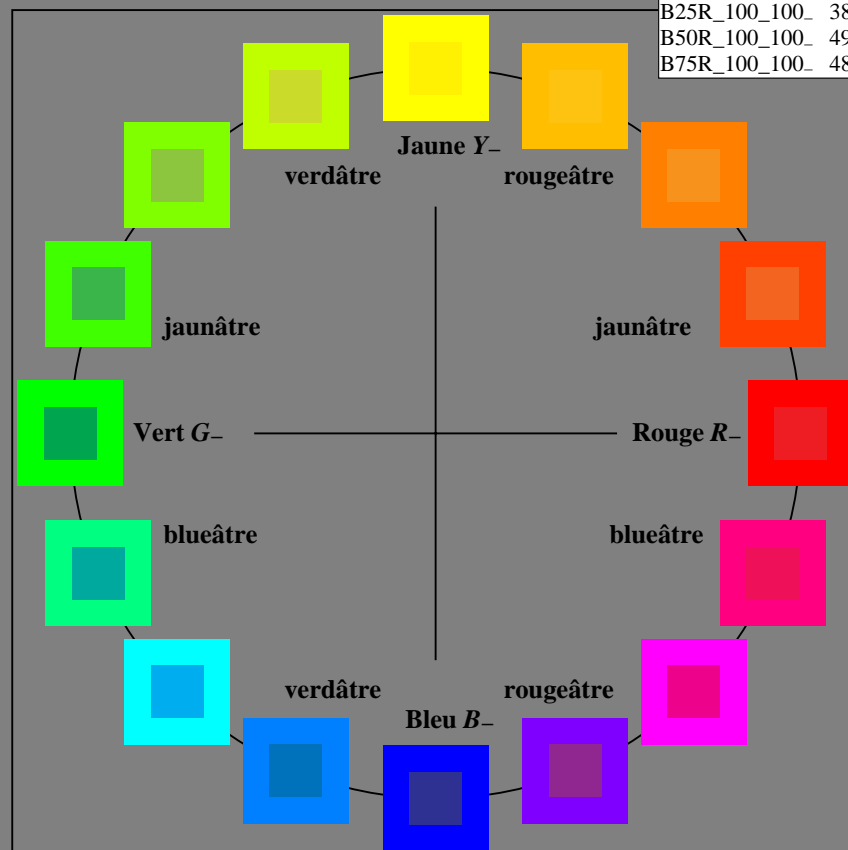
%Régularité

$g^*_{H,rel} = 28$

$g^*_{C,rel} = 38$

LRS18a; données CIELAB (a) adaptées

nom	$L^*=L^*_a a^*_a$	b^*_a	$C^*_{ab,a}$	$h^*_{ab,a}$
R-,Ma	32.5	62.3	46.4	77.7
Y-,Ma	82.7	-3.1	113.9	114.0
G-,Ma	39.4	-61.8	45.8	76.9
C-,Ma	47.8	-26.8	-34.2	43.4
B-,Ma	10.1	55.1	-61.0	82.2
M-,Ma	34.5	80.6	-33.9	87.5
N-,Ma	6.2	0.0	0.0	0.0
W-,Ma	91.9	0.0	0.0	0.0
R-,CIE	39.9	58.7	27.9	65.0
Y-,CIE	81.2	-2.8	71.5	71.6
G-,CIE	52.2	-42.4	13.6	44.5
B-,CIE	30.5	1.4	-46.4	46.4



RF820-7N_RGB 3-103030-L0

graphique TUB-RF82; cercle de teinte, 16 étapes, $cf=1$
graphique conforme à DIN 33872

entrée : $rgb/cmyk \rightarrow rgb/cmyk$
sortie : aucun changement

Entrée et sortie: Système Laser Reflective LRS18a

Données de couleurs périphériques (d)
ou élémentaires (e):

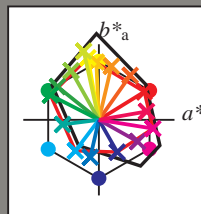
HIC^*_d

code de teinte pour les cou-
leurs de cette page:

$H^*_d = R00Y_d, R25Y_d, \dots, B75R_d$

LRS18a; données CIELAB (a) adaptées

H^*_d	$L^*=L^*_a a^*_a$	b^*_a	$C^*_{ab,a}$	$h^*_{ab,a}$	
R00Y_100_100_d	47.0	60.1	37.1	70.6	31
R25Y_100_100_d	59.3	41.4	58.7	71.9	54
R50Y_100_100_d	72.6	16.6	70.9	72.8	76
R75Y_100_100_d	84.3	-3.3	76.4	76.5	92
Y00G_100_100_d	91.3	-14.5	82.1	83.4	100
Y25G_100_100_d	91.1	-20.0	90.8	92.9	102
Y50G_100_100_d	74.8	-36.6	64.9	74.5	119
Y75G_100_100_d	61.6	-54.7	43.8	70.1	141
G00B_100_100_d	55.7	-64.0	32.6	71.8	152
G25B_100_100_d	57.5	-47.9	-6.0	48.3	187
G50B_100_100_d	53.0	-31.0	-40.9	51.4	232
G75B_100_100_d	46.1	-11.3	-49.4	50.6	257
B00R_100_100_d	32.3	24.2	-42.5	48.9	299
B25R_100_100_d	35.9	51.1	-28.6	58.6	330
B50R_100_100_d	47.1	71.4	-11.5	72.3	350
B75R_100_100_d	45.9	63.0	11.0	64.0	9



%Gamme

$u^*_{rel} = 114$

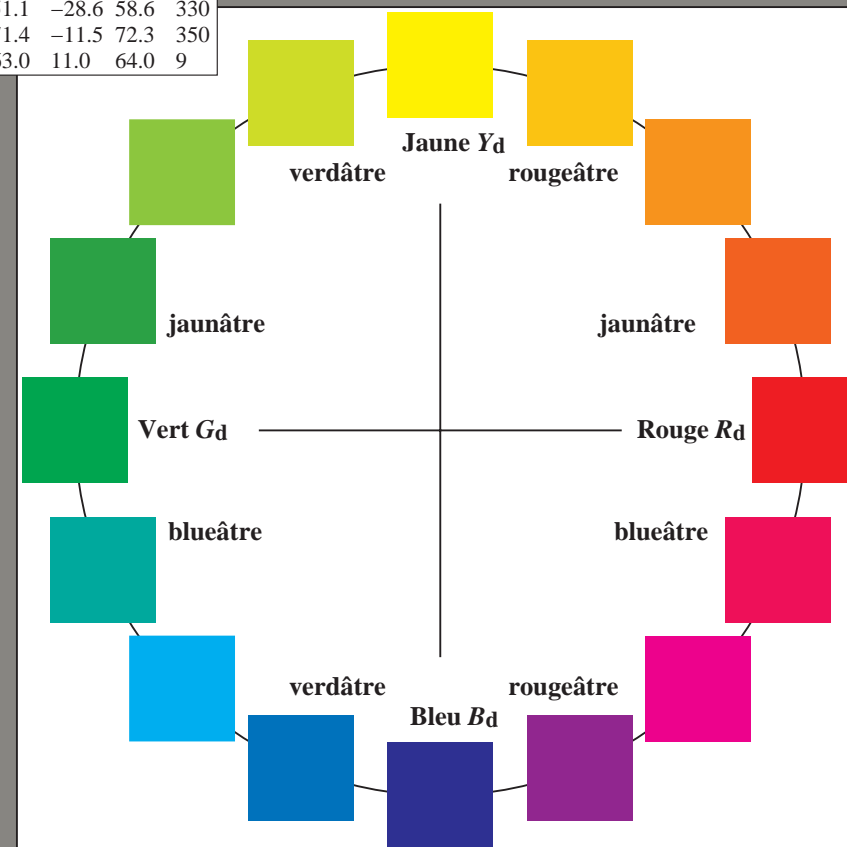
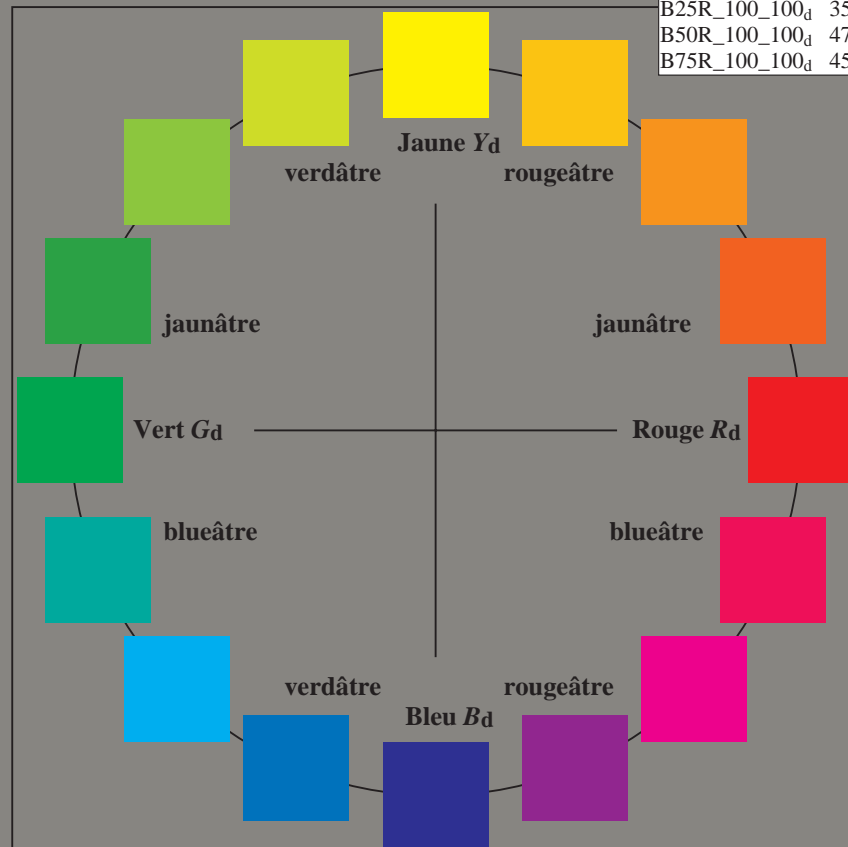
%Régularité

$g^*_{H,rel} = 28$

$g^*_{C,rel} = 38$

LRS18a; données CIELAB (a) adaptées

nom	$L^*=L^*_a\ a^*_a$	b^*_a	$C^*_{ab,a}$	$h^*_{ab,a}$	
R _{d, Ma}	47.0	60.1	37.1	70.6	31
Y _{d, Ma}	91.3	-14.5	82.1	83.4	100
G _{d, Ma}	55.7	-64.0	32.6	71.8	152
C _{d, Ma}	53.0	-31.0	-40.9	51.4	232
B _{d, Ma}	32.3	24.2	-42.5	48.9	299
M _{d, Ma}	47.1	71.4	-11.5	72.3	350
N _{d, Ma}	14.7	0.0	0.0	0.0	0
W _{d, Ma}	96.3	0.0	0.0	0.0	0
R _{d, CIE}	39.9	58.7	27.9	65.0	25
Y _{d, CIE}	81.2	-2.8	71.5	71.6	92
G _{d, CIE}	52.2	-42.4	13.6	44.5	162
B _{d, CIE}	30.5	1.4	-46.4	46.4	271



RF820-72

3-103130-L0

graphique TUB-RF82; cercle de teinte, 16 étapes, $cf=1$
graphique conforme à DIN 33872, 3D=1, $de=0$, cmk^*

entrée : $rgb/cmyk \rightarrow rgb_{dd}$

sortie : linéarisation 3D selon cmk^*_{dd}

Entrée et sortie: Système Laser Reflective LRS18a

Données de couleurs périphériques (d)
ou élémentaires (e):

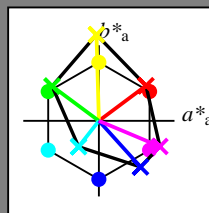
HIC^*

code de teinte pour les cou-
leurs de cette page:

$H^*_\text{--} = R00Y_\text{--}, R25Y_\text{--}, \dots, B75R_\text{--}$

ORS20a; données CIELAB (a) adaptées

$H^*_\text{--}$	$L^*=L^*_a a^*_a$	b^*_a	$C^*_{ab,a}$	$h^*_{ab,a}$
R00Y_100_100_	48.4	66.1	40.2	77.3
R25Y_100_100_	56.8	48.0	50.5	69.6
R50Y_100_100_	68.6	25.0	63.9	68.6
R75Y_100_100_	80.6	4.8	77.2	77.3
Y00G_100_100_	90.2	-9.6	88.2	88.7
Y25G_100_100_	83.2	-18.4	79.9	81.9
Y50G_100_100_	73.3	-31.7	62.7	70.2
Y75G_100_100_	62.0	-49.7	43.2	65.8
G00B_100_100_	55.8	-65.2	33.8	73.4
G25B_100_100_	59.3	-50.3	-9.0	51.0
G50B_100_100_	63.0	-30.5	-42.0	51.9
G75B_100_100_	45.7	-5.7	-44.6	44.9
B00R_100_100_	27.5	25.9	-47.3	53.9
B25R_100_100_	38.3	52.6	-28.5	59.8
B50R_100_100_	49.5	73.5	-9.0	74.0
B75R_100_100_	48.9	69.3	12.9	70.4



%Gamme

$u^*_{\text{rel}} = 114$

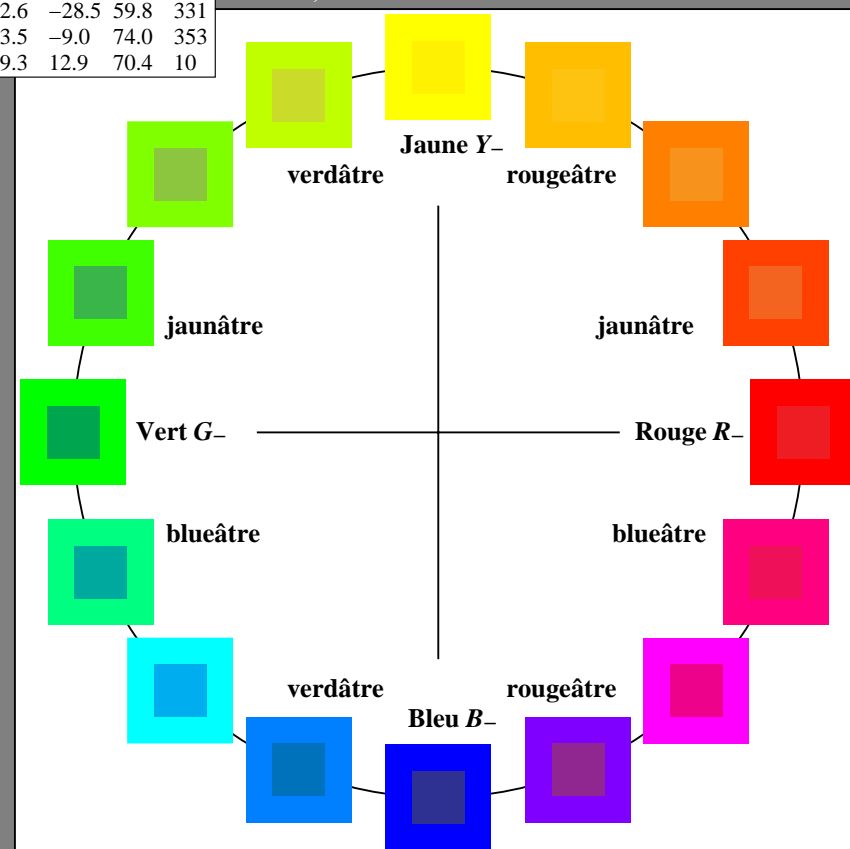
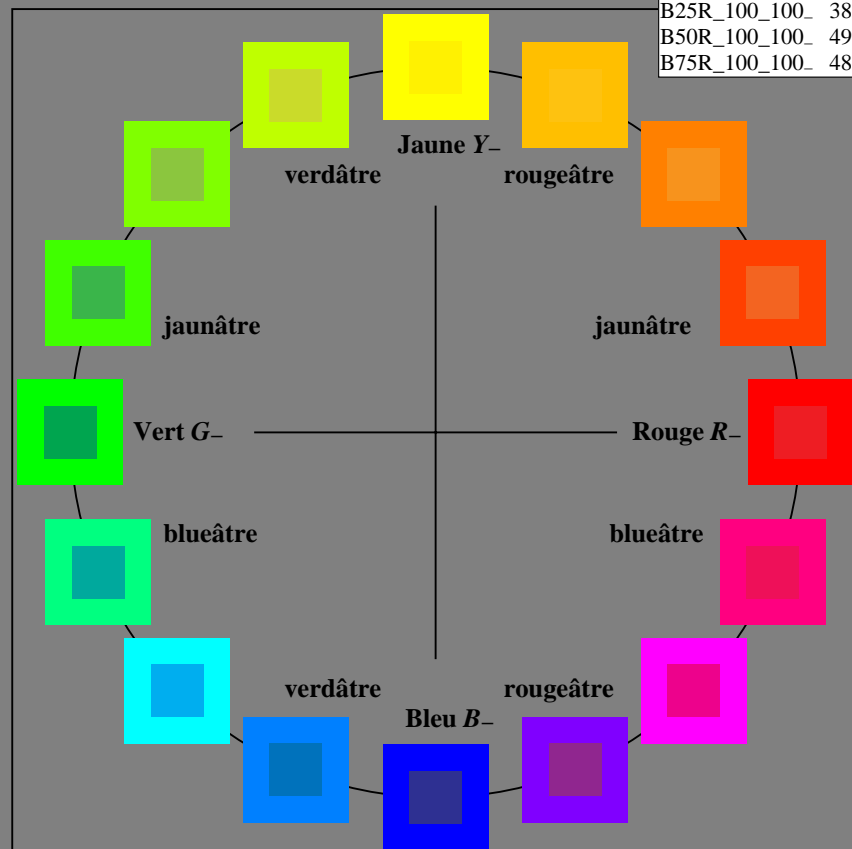
%Régularité

$g^*_{H,\text{rel}} = 28$

$g^*_{C,\text{rel}} = 38$

LRS18a; données CIELAB (a) adaptées

nom	$L^*=L^*_a a^*_a$	b^*_a	$C^*_{ab,a}$	$h^*_{ab,a}$
R_.,Ma	32.5	62.3	46.4	77.7
Y_.,Ma	82.7	-3.1	113.9	114.0
G_.,Ma	39.4	-61.8	45.8	76.9
C_.,Ma	47.8	-26.8	-34.2	43.4
B_.,Ma	10.1	55.1	-61.0	82.2
M_.,Ma	34.5	80.6	-33.9	87.5
N_.,Ma	6.2	0.0	0.0	0.0
W_.,Ma	91.9	0.0	0.0	0.0
R_.,CIE	39.9	58.7	27.9	65.0
Y_.,CIE	81.2	-2.8	71.5	71.6
G_.,CIE	52.2	-42.4	13.6	44.5
B_.,CIE	30.5	1.4	-46.4	46.4



RF820-7N_RGB 3-113030-L0

graphique TUB-RF82; cercle de teinte, 16 étapes, $cf=1$
graphique conforme à DIN 33872

entrée : $rgb/cmyk \rightarrow rgb/cmyk$
sortie : aucun changement

Entrée et sortie: Système Laser Reflective LRS18a

Données de couleurs périphériques (d)
ou élémentaires (e):

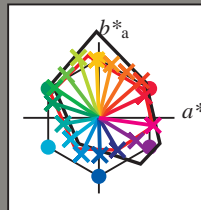
HIC^*_e

code de teinte pour les cou-
leurs de cette page:

$H^*_e = R00Y_e, R25Y_e, ..., B75R_e$

LRS18a; données CIELAB (a) adaptées

H^*_e	$L^*=L^*_a\,a^*_a$	b^*_a	$C^*_{ab,a}$	$h^*_{ab,a}$	
R00Y_100_100_e	46.3	60.0	28.5	66.4	25
R25Y_100_100_e	51.3	56.3	49.1	74.7	41
R50Y_100_100_e	61.8	36.6	60.7	70.9	58
R75Y_100_100_e	72.5	16.7	70.9	72.8	76
Y00G_100_100_e	84.1	-3.0	76.7	76.7	92
Y25G_100_100_e	84.5	-26.8	79.7	84.1	108
Y50G_100_100_e	69.6	-42.9	56.4	70.9	127
Y75G_100_100_e	59.2	-58.5	39.6	70.7	145
G00B_100_100_e	55.2	-61.3	19.6	64.4	162
G25B_100_100_e	57.5	-47.1	-7.9	47.8	189
G50B_100_100_e	56.1	-37.4	-28.1	46.8	216
G75B_100_100_e	52.0	-23.1	-48.1	53.4	244
B00R_100_100_e	38.0	1.4	-49.0	49.1	271
B25R_100_100_e	32.3	24.6	-42.4	49.0	300
B50R_100_100_e	34.7	49.3	-30.1	57.8	328
B75R_100_100_e	46.8	71.6	-9.9	72.3	352



%Gamme

$u^*_{rel} = 114$

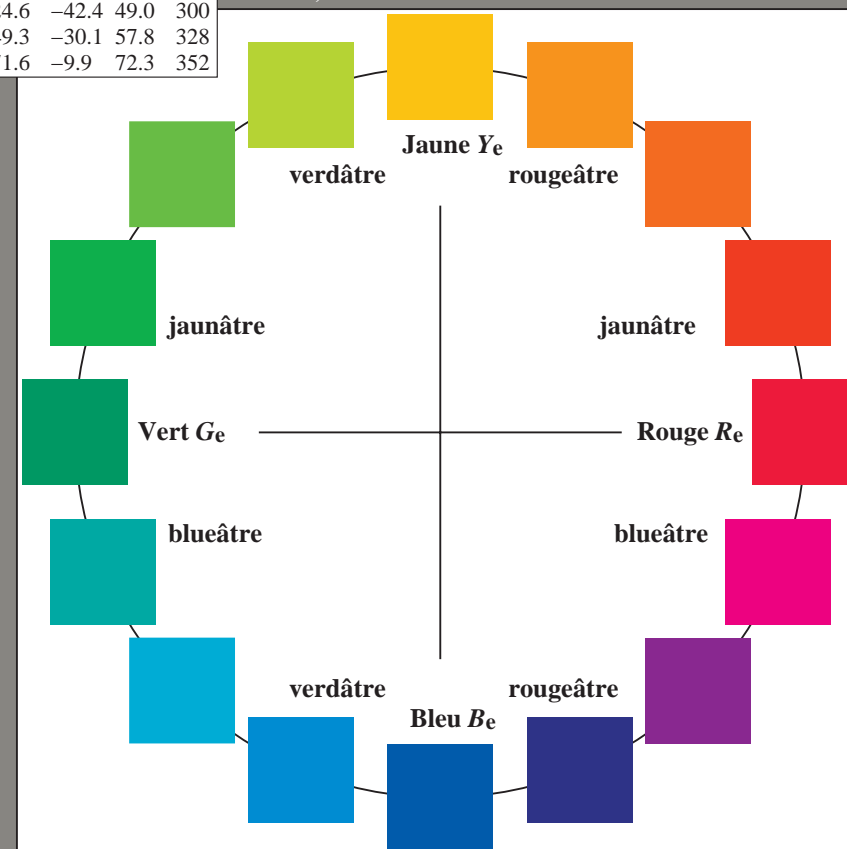
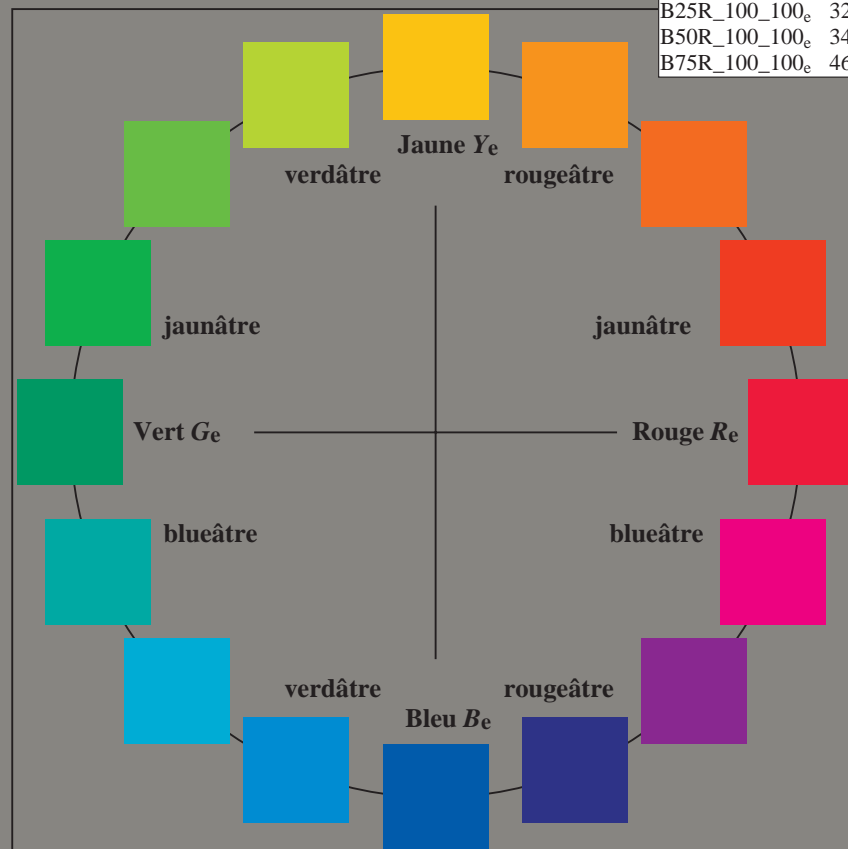
%Régularité

$g^*_{H,rel} = 28$

$g^*_{C,rel} = 38$

LRS18a; données CIELAB (a) adaptées

nom	$L^*=L^*_a a^*_a$	b^*_a	$C^*_{ab,a}$	$h^*_{ab,a}$	
R _e ,Ma	46.3	60.0	28.5	66.4	25
Y _e ,Ma	84.1	-3.0	76.7	76.7	92
G _e ,Ma	55.2	-61.3	19.6	64.4	162
C _e ,Ma	56.1	-37.4	-28.1	46.8	216
B _e ,Ma	38.0	1.4	-49.0	49.1	271
M _e ,Ma	34.7	49.3	-30.1	57.8	328
N _e ,Ma	14.7	0.0	0.0	0.0	0
W _e ,Ma	96.3	0.0	0.0	0.0	0
R _e ,CIE	39.9	58.7	27.9	65.0	25
Y _e ,CIE	81.2	-2.8	71.5	71.6	92
G _e ,CIE	52.2	-42.4	13.6	44.5	162
B _e ,CIE	30.5	1.4	-46.4	46.4	271



graphique TUB-RF82; cercle de teinte, 16 étapes, $cf=1$
graphique conforme à DIN 33872, 3D=1, $de=1$, cmk^*

entrée : $rgb/cmyk \rightarrow rgb_{de}$
sortie : linéarisation 3D selon cmk^*_{de}